

論文

UDC 621.746.047 : 536.421.4 : 624.074.4

連鉄鋳型内不均一凝固に及ぼす抜熱速度の影響

杉谷 泰夫^{*}・中村 正宣^{**}・渡部 忠男^{***}

Influence of Rate of Heat Removal on Uneven Solidification in Continuous Casting Mould

Yasuo SUGITANI, Masanobu NAKAMURA, and Tadao WATANABE

Synopsis :

The influence of rate of heat removal on uneven solidification in a continuous casting mould has been investigated by changing thickness of a steel plate which is closely set on a surface of sand mould. The steel plate has a heat capacity corresponding to its thickness, and the rate of heat removal in initial stage of solidification decreases with the thickness decrease.

As a result, Al-killed steel containing about 0.12% C, whose shell is formed quite unevenly in water-cooled copper plate mould, has been observed to solidify evenly under some low rate of heat removal. This critical rate is about 0.8×10^6 kcal/m²·h by heat transfer analysis.

This fact can be explained as follows. When the rate of heat removal is lowered, temperature of shell on mould side gets to drop more slowly and the difference of cooling rate between mould and liquid steel sides of shell becomes smaller, which makes the difference of shrinkage smaller. In this way, the bending force towards liquid steel, which is potentially exerted at upper part of shell by the difference of shrinkage, gets weakened. Moreover, strength of shell becomes weak due to a rise of temperature level of shell. Consequently, the bending force cannot overcome the static pressure and air gap is not formed between the shell and mould, which results in even solidification.

1. 緒 言

連鉄スラブの縦割れなど表面性状の改善を図るには、ひとつは鋳型内初期凝固シェルを均一に発達させることが重要である、との考えに基づいて、前報¹⁾では、不均一凝固に及ぼす合金成分の影響を調査した。

本報では、不均一凝固に及ぼす抜熱速度の影響を調査するため、水冷銅と砂型からなる扁平鋳型の、砂型と溶鋼の間に種々の厚さの鋼板を設置し、鋼板の持つ熱容量の違いによって抜熱速度を変える実験を行つたところ、均一な厚さのシェルが得られる限界抜熱速度が存在することがわかつたので、報告する。

2. 実 験

実験装置や方法は、基本的には前報¹⁾と同じである。

Fig. 1 に示す、水冷銅一面と残りは砂型からなる扁平鋳型(断面寸法 130×500 mm², 高さ 500 mm)に、前報¹⁾

で不均一発達度が最も大きかつた炭素を 0.12% 程度含有する低炭素 Al キルド鋼約 200 kg を、溶融シリカ製浸漬ノズル(内径 35 φ, 外径 65 φ, 吐出孔径 20 φ)を通して鋳込む。一部の実験(Table 1 の No. 1)については、断面寸法 120×830 mm², 高さ 700 mm の鋳型に、溶鋼約 400 kg を下注ぎで鋳込んだ。鋳込み後数秒して鋳型底部より溶鋼を強制的に排出し、凝固シェルを得た。

その時、砂型内面に密着して、厚さ 1.0, 1.8, 3.2, 3.75, 5.3, 11.8 mm の鋼板(化学組成, 0.15% C, 0.17% Si, 0.59% Mn, 0.019% P, 0.015% S)を設置し、鋼板の持つ熱容量の違いによって鋳片表面の抜熱速度を系統的に変えた。

なお、抜熱速度を求めるために、Fig. 1 (a) に見るように、鋼板の砂型側表面の定盤から 200 mm の高さに 0.5 φ の PR 13 熱電対を電弧放電によつて取り付け、鋳込み中の温度変化を測定した。

昭和 54 年 4 月本会講演大会にて発表 昭和 55 年 6 月 2 日受付 (Received June 2, 1980)

* 住友金属工業(株)中央技術研究所 (Central Research Laboratories, Sumitomo Metal Industries, Ltd.)

** 住友金属工業(株)中央技術研究所 工博 (Central Research Laboratories, Sumitomo Metal Industries, Ltd., 1-3 Nishinagashondori Amagasaki 660)

*** 住友金属工業(株)鹿島製鉄所 (Kashima Steel Works, Sumitomo Metal Industries, Ltd.)

Table 1. Chemical compositions and casting conditions.

No.	Cooling method	Chemical composition (%)						Casting condition		
		C	Si	Mn	P	S	sol. Al	Casting speed (m/min)	Casting temp. (°C)	Superheat (°C)
1	Water-cooled copper plate and sand mould	0.09	0.37	0.41	0.020	0.007	0.001	0.66	nd	nd
2	Steel plate 11.8 mm	0.11	0.26	0.79	0.015	0.012	0.033	0.79	1585	61
3	5.3 mm	0.10	0.29	0.37	0.011	0.010	0.030	0.73	1543	16
4	3.75 mm	0.11	0.25	0.33	0.011	0.009	0.038	0.76	1532	5
5	3.2 mm	0.11	0.25	0.29	0.011	0.011	0.028	0.77	1543	17
6	1.8 mm	0.12	0.27	0.76	0.011	0.009	0.015	0.81	1539	16
7	1.0 mm	0.12	0.30	0.81	0.012	0.011	0.036	0.89	1542	20

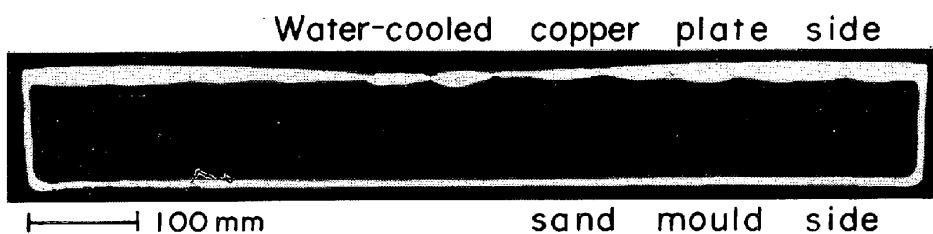


Photo. 1. Profile of transverse section of shell obtained in flat mould composed of water-cooled copper plate and sand.

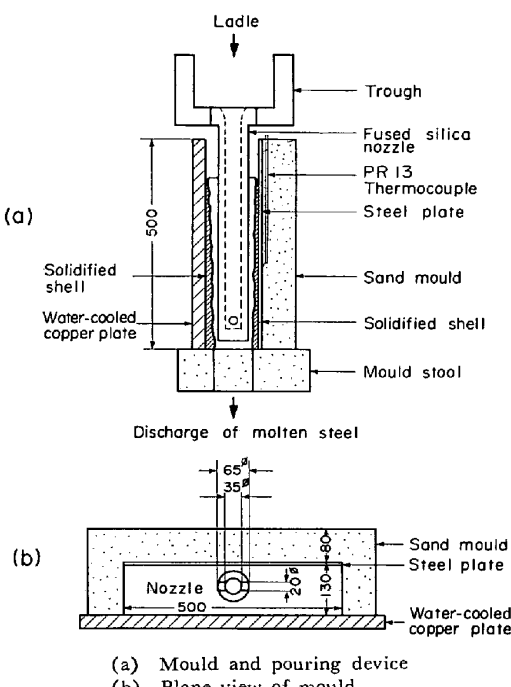


Fig. 1. Experimental apparatus.

鉄込み温度の測定は、砂型短辺側より市販の消耗型熱電対先端を砂型内に突き出して行つた。

パウダーや保温剤は、前報¹⁾と同様、用いなかつた。Table 1 に、得られた凝固シェルの化学組成を示す。鉄込み条件も合わせて記してある。ここで、Mn の値が 0.35% と 0.8% 前後に分かれているが、前報¹⁾で、0.12%C 含有 Al キルド鋼と 40 kg/mm² 級鋼との間に Mn の違いによる不均一凝固への影響が見られなかつたので、問題はないと考える。

なお、実際には、鋼板の同一厚さについて数回鉄込み実験を行つてゐるが、Table 1 にはその代表例を示した。

3. 結果と考察

3.1 水冷銅と砂型に発達した凝固シェルの比較

Photo. 1 に、水冷銅と砂型に発達した凝固シェルの断面形状を示す。これは、シェル上端より 100 mm 位置での横断面である。

Photo. 1 に見るように、水冷銅側では不均一凝固しているのに対し、砂型側では均一に凝固している。また、砂型側シェルの鉄型側表面には、水冷銅の場合に見られるような亀の甲状斑点¹⁾は見られなかつた。なお、凝固

時間の長くなるシェル下部についても状況は同じであつた。

こうした事実は、铸片表面からの抜熱速度を低下させることによつて、シェルは均一に発達するようになることを意味していると思われる。

さて、前報¹⁾では不均一凝固の発生機構を次のように考えた。

すなわち、凝固シェル上部には、水冷銅側と溶鋼側の冷却速度の違いによつて生じるシェル厚さ方向での収縮量の差から、潜在的に溶鋼側にたわもうとする力が作用しており、この力は固液界面近傍の $\delta \rightarrow \gamma$ 変態に伴う収縮によつてさらに強められる。シェルの高温強度が十分にあつて、この力が溶鋼静圧に打ち勝つ時、シェルは溶鋼側にたわむ。こうして水冷銅との間に空隙ができる、局所的に凝固遅れが生じて、シェルは不均一発達するようになるとえた。

このことを踏まえて、铸片表面からの抜熱速度を低下させることによつてシェルが均一に発達するようになる理由を、次のように考えることができる。

砂型のように抜熱速度が低下すると、Fig. 2, 3(計算法は前報¹⁾と同様)に見るように、凝固シェルの砂型側温度の低下が遅くなり、シェル上部の砂型側と溶鋼側の冷却速度の差が小さくなつて収縮量の違いが少なくなる。このため、収縮量の違いから潜在的に作用している溶鋼側へたわもうとする力が緩和される。また、全体的な温度上昇によつてシェルの強度が弱められるので、溶鋼側にたわもうとする力は溶鋼静圧に打ち勝つことができず、砂型との間に空隙を生じにくく、シェルは均一に発達するようになるとえた。

つまり、铸片表面からの抜熱速度を低下させることによつてシェルが均一に発達するようになるといふのは、言い換えれば、前報¹⁾で提出した不均一凝固の発生機構モデルが正しいといふことである。

ところで、以上のことから、均一な厚さのシェルが得られるようになる限界抜熱速度が存在することが推定される。

3.2 不均一凝固に及ぼす抜熱速度の影響

Photo. 2 は、砂型の前に置いた鋼板の厚さを変えた時、鋼板に形成される凝固シェルの不均一発達状態がどのように変化するかをみたものである。それぞれ、得られた凝固シェルの上端より 100, 200, 300 mm 位置における横断面形状を示している。ここで、鋼板の厚さが薄くなると抜熱速度は小さくなる。

Photo. 2 からわかるように、鋼板の厚さが 11.8, 5.3 mm では凹凸は著しいが、3.75, 3.2 mm と薄くなるに

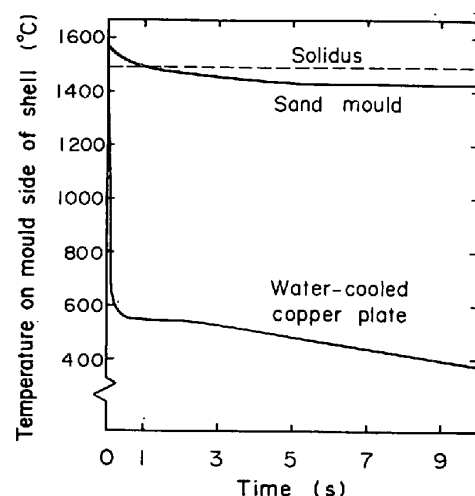


Fig. 2. Change of temperature on mould side of shell with time. It is assumed that shell perfectly contacts with mould.

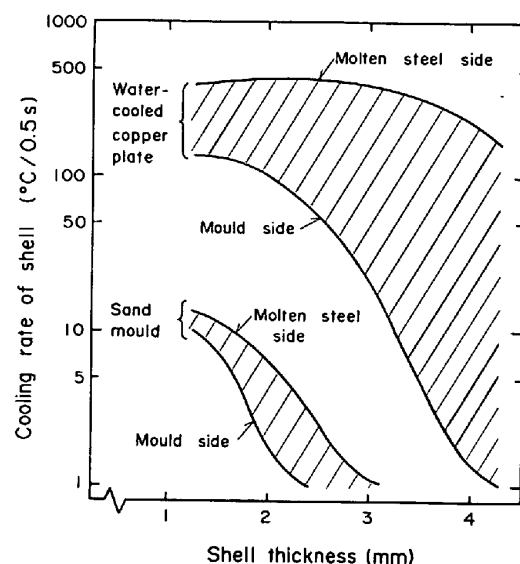


Fig. 3. Comparison of differences between cooling rates on molten steel side and mould side of shell in case of sand mould and water-cooled copper plate.

つれて凹凸はしだいに緩慢になり、平坦な所も見られるようになる。なお、鋼板厚さが 1.8, 1.0 mm では、鋼板の一部が溶損して砂型との間に溶鋼が侵入し、全体として良好なシェルを得ることができなかつた。しかし、鋼板の非溶損部に発達した凝固シェルを見る限り、ほぼ平坦であつた。

以上のことを明瞭に示すため、縦軸に凝固シェルの不均一発達状態をとつて鋼板厚さの影響をみたのが Fig. 4 である。ここで、「不均一発達状態 3」とは、水冷銅側に発達した凝固シェルと同程度の凹凸が見られたことを意味している。前報¹⁾で示した、基準面積あたりの凸部

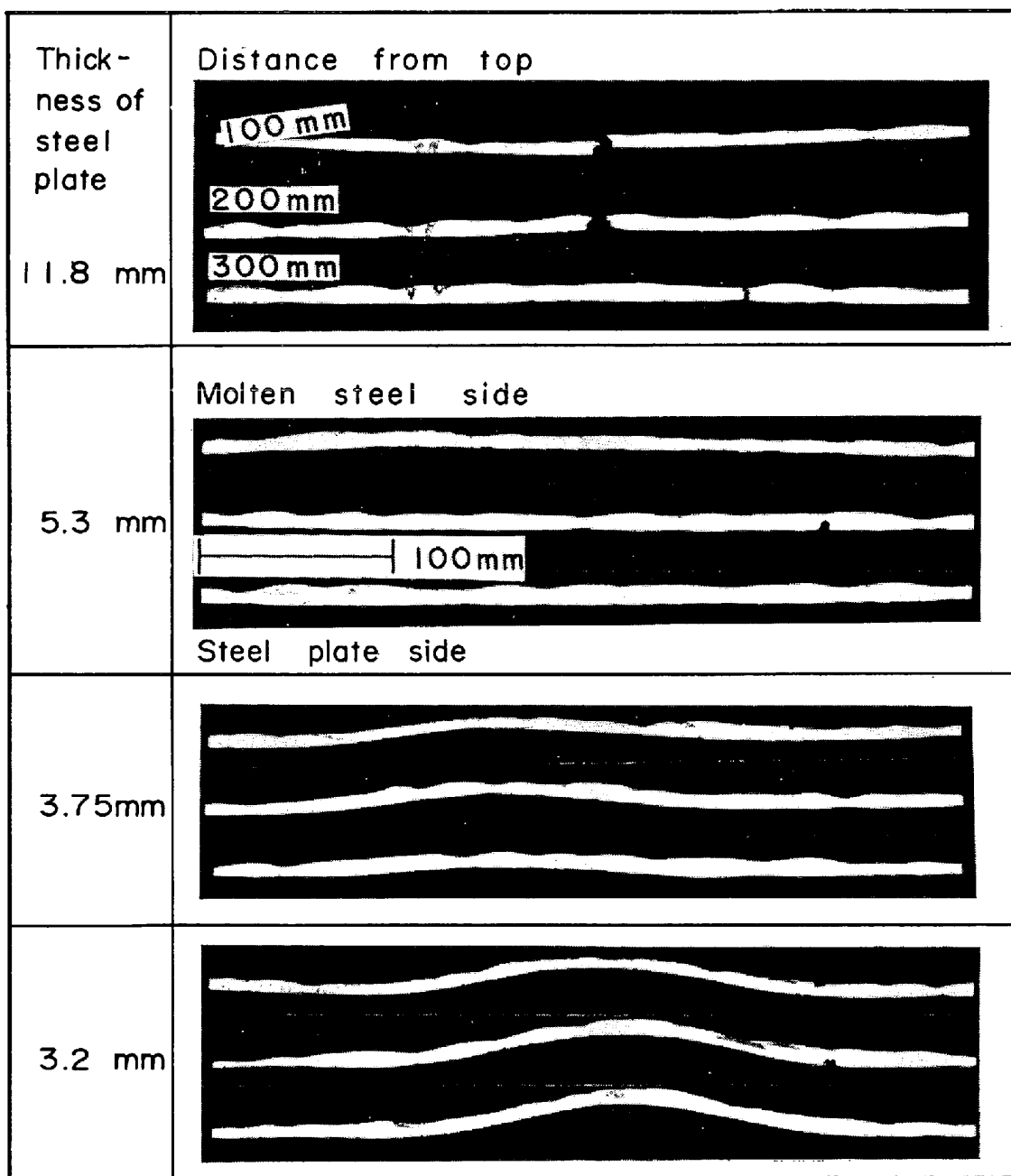


Photo. 2. Profile of transverse sections of shell obtained on steel plate.

の個数を数えて求める不均一発達度で表わすと、50 度程
度にあたる。この場合、シェルの鋼板側表面に亀の甲状斑
点が認められた。

「2」、「1」は、凹凸がだいに緩慢になり、平坦な所
も見られるようになつた状態を示している。すなわち、
「2」は不均一発達度にして 30 度であり、部分的にご
く薄く亀の甲状斑点が認められた。「1」は不均一発達度
にして 20 度であり、もはや、亀の甲状斑点は認めら
れなかつた。

「0」は、砂型側に発達した凝固シェルのように、均一
な厚さのシェルが得られたことを意味している。もちろ

ん、亀の甲状斑点は認められなかつた。

Fig. 4 から、鋼板厚さにして 3 ~ 4 mm に相当する抜
熱速度以下の場合に、シェルはほぼ均一に発達するよ
うになることがわかる。

次に、Fig. 5 に、シェル厚さを測定して求めた平均凝
固系数 k ($\text{mm}/\text{min}^{1/2}$) を横軸にとって、不均一発達状
態との関係を示す。Fig. 5 から、平均凝固系数が 12 度
以下の場合にシェルはほぼ均一に発達するようになるこ
とがわかる。

ところで、凝固系数では一般的に取り扱うのに不便で
ある。そこで、鋼板に取り付けた熱電対による測定結果

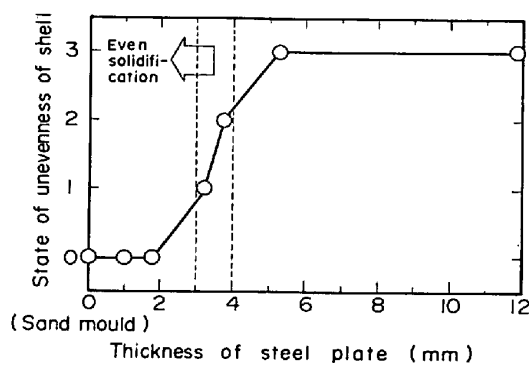


Fig. 4. Effect of thickness of steel plate on state of unevenness of shell.

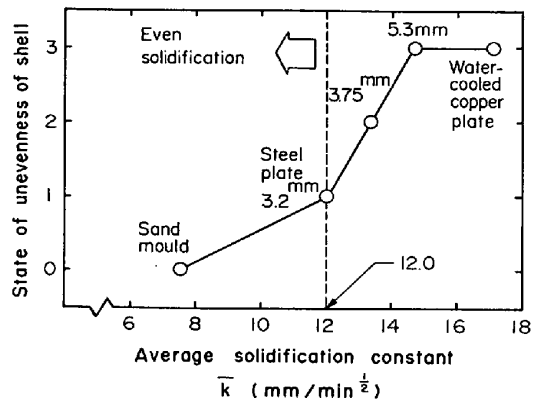


Fig. 5. Relationship between average solidification constant and state of unevenness of shell.

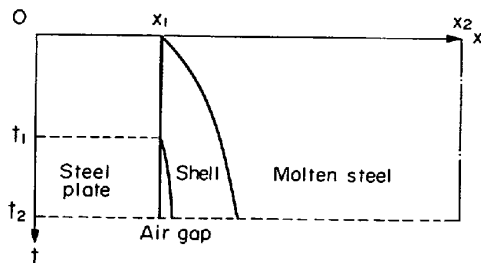


Fig. 6. Schematic representation for heat transfer analysis.

から、均一な厚さのシェルを得ることができるようになる限界抜熱速度を、伝熱解析によつて求めてみた。

3.3 限界抜熱速度の算出

伝熱解析にあたり、Fig. 6 に示すモデル化を行つた。すなわち、鋼板に取り付けた熱電対位置を湯面が通過した時を $t=0$ とし、 $0 < t < t_1$ では凝固シェルは鋼板と完全接触しているが、 $t_1 < t$ では完全分離していると考える。

この時、溶鋼側と鋼板について、次の1次元非定常伝熱式が成り立つ。

$$\frac{\partial H_S}{\partial t} = \frac{k_{d_s}}{\rho_s} \left(\frac{\partial^2 \phi_S}{\partial x^2} \right) \quad (1)$$

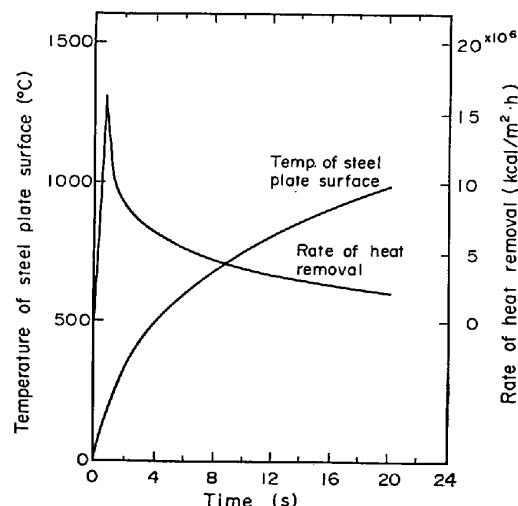


Fig. 7. Changes of temperature of steel plate surface and calculated rate of heat removal with time.

$$\frac{\partial H_P}{\partial t} = \frac{k_{d_p}}{\rho_p} \left(\frac{\partial^2 \phi_P}{\partial x^2} \right) \quad (2)$$

(1), (2)式を初期条件(3), (4)式, 境界条件(5)～(8)式のもとで差分化し、陽解法により解く。

$$t=0, 0 \leq x < x_1, T_P = T_P^\circ \quad (3)$$

$$t=0, x_1 \leq x \leq x_2, T_S = T_S^\circ \quad (4)$$

$$0 < t, x=0, T_P = f(t) \quad (5)$$

$$0 < t < t_1, x=x_1, T_S = T_P, \quad (6)$$

$$k_{d_s} (\partial \phi_S / \partial x) = k_{d_p} (\partial \phi_P / \partial x) \quad (7)$$

$$t_1 \leq t, x=x_1, k_{d_s} (\partial \phi_S / \partial x) = k_{d_p} (\partial \phi_P / \partial x) \quad (8)$$

$$= \sigma \delta \{ (T_S/100)^4 - (T_P/100)^4 \}$$

$$+ h(T_S - T_P) \quad (9)$$

$$0 < t, x=x_2, \partial \phi_S / \partial x = 0 \quad (10)$$

ここで、(5)式の $f(t)$ は、鋼板壁測温データを用いる。一例として、Fig. 7 に、鋼板厚さが 3.2 mm の時の測温結果を示す。

計算は、 t_1 をパラメータに、シェル厚さが実測値と一致するよう、進めた。 t_1 は大体 1～2s の値であつた。

Fig. 7 に、計算によつて求めた铸片表面の抜熱速度の時間変化を合わせて示す。このように抜熱速度は大きく変化するので、他との比較のため、凝固時間 t_2 (約 20s)あたりの平均抜熱速度 $Q_{avg.}$ を(9)式によつて求めた。

$$Q_{avg.} = \frac{\int_0^{t_2} k_{d_s} (\partial \phi_S / \partial x)_{x=x_1} dt}{t_2} \quad (9)$$

こうして求めた平均抜熱速度を横軸にとって、凝固シェルの不均一発達状態との関係をみたのが Fig. 8 である。図には、水冷銅や砂型の場合の平均抜熱速度も合わせて示してある。

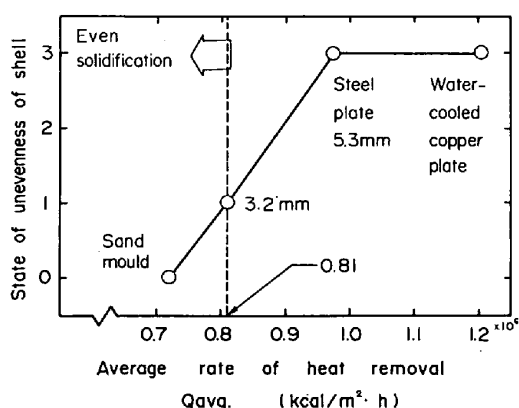


Fig. 8. Relationship between average rate of heat removal and state of unevenness of shell.

Fig. 8 から、平均拔熱速度が $0.8 \times 10^6 \text{ kcal}/\text{m}^2 \cdot \text{h}$ 程度以下の時にほぼ均一な厚さの凝固シェルが得られることがわかる。この値は、水冷銅の場合のおよそ $2/3$ に相当している。

3.4 現場操業との関連

現場操業において、連鉄スラブ表面の縦割れを防止するには、鋳型内冷却を均一かつ緩冷却にすることが必要であるといわれている^{2,3)}。

馬田ら³⁾は、 $40 \text{ kg}/\text{mm}^2$ 級鋼を鋳込んだ時のパウダー流入速度と鋳型長辺拔熱速度、および、鋳型長辺拔熱速度と縦割れ発生状況の関係を調べた結果、不均一流入が生じ難いパウダー流入速度の範囲において、鋳型長辺拔熱速度が低下すると縦割れの発生が減少し、 $0.95 \sim 1.0 \times 10^6 \text{ kcal}/\text{m}^2 \cdot \text{h}$ では縦割れの発生が見られなかつたとしている。これは、本実験で求めた限界拔熱速度よりやや大きい。

しかしながら、馬田らが得た結果を本実験結果を踏まえていいかえれば、パウダー流入速度が適当であれば、パウダーによる伝熱抵抗の増加に伴い、鋳片表面の拔熱速度が限界拔熱速度近くになって、シェルはほぼ均一に発達するようになり、縦割れの発生がなくなるということがあると考えられる。

また、加藤ら⁴⁾は、中炭マルテンサイト系ステンレス鋼 (SUS 420 J₁, SUS 420 J₂) を鋳込んだ時、低炭ステンレス鋼 (SUS 410, SUS 430) とは違つて、鋳片表面に「微細な割れを伴つたディプレッション」や「縦割れを伴つた深さ 15 mm にも達する凹み」が見られたが、不均一流入が生じ難いと考えられる適当なパウダーを用いることによつて SUS 420 J₂ は凹みの発生を防止することができたとしている。

さて、ここで問題にしている SUS 420 J₁ (0.22% C, 0.43% Si, 0.60% Mn, 0.015% P, 0.006% S, 12.57% Cr)

について鋳込み実験を行つたところ、水冷銅に発達したシェルの不均一発達度は 41 と大きく、また、シェルの水冷銅側表面には薄く亀の甲状斑点が認められた。一方、SUS 430 は、前報¹⁾で述べたように、比較的均一に発達する (不均一発達度 17)。なお、参考までに述べれば、SUS 420 J₁ や SUS 420 J₂ は、Fe-Cr-C 系平衡状態図上初晶として δ 相を晶出し、凝固時または凝固直後に $\delta \rightarrow \gamma$ 変態を伴うことが予想されるが、SUS 430 にはそのような高温変態は見あたらない。

これらのことから、中炭マルテンサイト系ステンレス鋼を実機で鋳込んだ時のディプレッションや凹みの形成について、次のように考えることができる。

すなわち、不均一流入が生じるようなパウダーを使用した時、パウダー膜厚さの薄い部分と厚い部分では拔熱速度が異なるので、シェルは不均一凝固する。この時、パウダーが過剰に流入すると、ディプレッションや凹みが生じるようになる。または、不均一凝固するがために、過剰流入を生じるようなパウダーは亀の甲状斑点溝部に不均一流入して、ディプレッションや凹みを生じるようになると考えられる。

これに対し、不均一流入が生じ難いパウダーを使用すれば、均一で適当な膜厚さとなつて限界拔熱速度程度となり、均一な厚さの凝固シェルが得られるようになると考えられる。

4. 結 言

連鉄連型内不均一凝固に及ぼす拔熱速度の影響を調査するため、水冷銅と砂型からなる扁平鋳型の、砂型と溶鋼の間に種々の厚さの鋼板を設置し、鋼板の持つ熱容量の違いによつて拔熱速度を変える実験を行つたところ、次の結果を得た。

(i) 水冷銅で著しい不均一凝固が見られる炭素を 0.12% 程度含有する低炭素 Al キルド鋼でも、砂型では均一に凝固する。つまり、鋳片表面の拔熱速度を低下させることによつてシェルは均一に発達するようになる。

(ii) この理由として、次のことが考えられる。すなわち、凝固シェル上部には、鋳型側と溶鋼側の冷却速度の違いによる収縮量の差から、潜在的に溶鋼側にたわもうとする力が作用している。ところが、拔熱速度が小さくなると、シェル鋳型側温度の低下が遅くなり、冷却速度の差が小さくなつて収縮量の違いが少なくなるので、溶鋼側へたわもうとする力が緩和される。また、全体的な温度上昇によつてシェルの強度が弱められるので、この力は溶鋼静圧に打ち勝つことができず、鋳型から離れることなくシェルは均一に発達するようになると思われ

る。

(iii) 均一な厚さのシェルが得られるようになる限界抜熱速度を求めるために、鋼板の厚さによって抜熱速度を系統的に変えた時、厚さにして3~4mm程度以下に相当する抜熱速度でほぼ均一な厚さの凝固シェルが得られた。

(iv) この限界抜熱速度を伝熱解析によつて求めたところ、 $0.8 \times 10^6 \text{ kcal/m}^2 \cdot \text{h}$ 程度の値を得た。この値は、水冷鋼の場合の抜熱速度のおよそ $2/3$ に相当している。

最後に、本研究の発表を許可された住友金属工業(株)取締役中央技術研究所長小田尚輝博士、ならびに終始ご指導いただいた同研究所次長梅田洋一氏に感謝いたします。また、実験の遂行に協力された方々に感謝します。

記 号

$f(t)$: 鋼板壁温度の時間変化 ($^{\circ}\text{C}$)

H : エンタルピ (kcal/kg)

h : シェルと鋼板との空隙における対流による
伝熱係数 ($\text{kcal/m}^2 \cdot \text{h} \cdot ^{\circ}\text{C}$)

k_d : 基準温度における熱伝導度 ($\text{kcal/m} \cdot \text{h} \cdot ^{\circ}\text{C}$)

Q_{avg} : 平均抜熱速度 ($\text{kcal/m}^2 \cdot \text{h}$)

T : 温度 ($^{\circ}\text{C}$)

t : 時間 (h)

x : 厚さ方向距離 (m)

ϵ : 放射率 (-)

ρ : 密度 (kg/m^3)

σ : ステファン-ボルツマン定数 ($\text{kcal/m}^2 \cdot \text{h} \cdot \text{K}^4$)

ϕ : 換算温度 ($^{\circ}\text{C}$)

添字

P : 鋼板, S : 鋸片, ° : 初期

文 献

- 1) 杉谷泰夫, 中村正宣: 鉄と鋼, 65 (1979) 12, p. 1702
- 2) 江見俊彦, 中戸参, 鈴木康治, 飯田義治, 上田典弘: 鉄と鋼, 60 (1974) 7, p. 981
- 3) 馬田一, 今井卓雄, 守脇広治: 鉄と鋼, 62 (1976) 11, S 543
- 4) 加藤雅典, 森脇三郎, 今井卓雄, 関明, 矢野修也, 小口征男: 鉄と鋼, 63 (1977) 11, S 567